

КРАТКИЕ СООБЩЕНИЯ

К вопросу о возрасте мезозойских отложений в разрезе скважины Анабаро-Хатангская-1 (Таймырский полуостров) по палинологическим данным

И.В. Смокотина

*АО «Сибирское ПГО», 660020 Красноярск, ул. Березина 3 «Д»
smokotina@list.ru*

Приведены результаты палинологических исследований разреза мезозойских отложений, вскрытых колонковой скважиной Анабаро-Хатангская-1 (левобережье Хатангского залива). Анализ таксономического состава выделенных спорово-пыльцевых комплексов показал сходство с зональными комплексами юры – раннего мела палиностратиграфической шкалы севера Сибири. Установленные палинокомплексы подтверждают первоначальные выводы о мезозойском возрасте отложений верхней части разреза скважины.

Введение

Скважина Анабаро-Хатангская-1 расположена в Анабаро-Хатангской седловине (рис. 1) в пределах Чернохребетнинско-Нордвикского геологического района на Нордвикской площади (Таймырский Долгано-Ненецкий муниципальный район). Координаты скважины: северная широта $73^{\circ}51'52,14''$, восточная долгота $107^{\circ}01'37,53''$, альтитуда устья – 83,531 м. Пробурена в 2014 году с целью уточнения геологического строения и перспектив нефтегазоносности Анабаро-Хатангского междуречья.

Скважина вскрыла в основании палеозойские (пермские) образования, выше по разрезу наблюдаются трансгрессивный перерыв и далее отложения, первоначально датированные геологами Полярной ГРЭ ранним мелом, над ними – четвертичные образования. Скважина представляет несомненный интерес для целей уточнения возраста отложений мезозоя, их корреляции с сопредельными разрезами и реконструкции палеогеографической обстановки региона.

Материал и методы

По договору с ФГАОУ ВПО «Сибирский федеральный университет» автором (2014 г.) проведены палинологические исследования 20 проб, отобранных из керна скв. Анабаро-Хатангская-1 с интервала 43,0–210,1 м.

Техническая обработка образцов на палинологический анализ проводилась в Аналитическом

центре АО «Сибирское ПГО» с применением концентрированной азотной кислоты и калийной щелочи. Разделение органической и минеральной частей макерата получено путем центрифugирования с применением тяжелой кадмевой жидкости (уд. вес 2,25). В большей части образцов обнаружены богатые палиноспектры с содержанием спор и пыльцы наземных растений, микрофитопланктона. Морфологические исследования проводились на световом биологическом микроскопе ERGAVAL (ZEISS). Для вычисления процентного содержания компонентов палиноспектра в пробе подсчитывалось 200–400 зерен. Геологический возраст вмещающих пород установлен путем сопоставления полученных палинокомплексов с зональными комплексами палиностратиграфической шкалы мезозоя севера Сибири, увязанной, в свою очередь, с региональными аммонитовыми подразделениями Бореального стандарта [Никитенко и др., 2013].

Литолого-палеонтологическая характеристика разреза

В интервале 983,0–211,1 м скважина вскрыла палеозойские (пермские) отложения. Далее, в интервале 211,1–210,1 м, находится слой карбонатно-глинистых крупнозернистых биотурбированных песчаников. В породе содержится гравий и крупная хорошо окатанная галька кварца, изверженных и метаморфических пород, сидеритовых конкреций и обломков пород цоколя. В песчанике на двух уровнях найдена морская фауна.

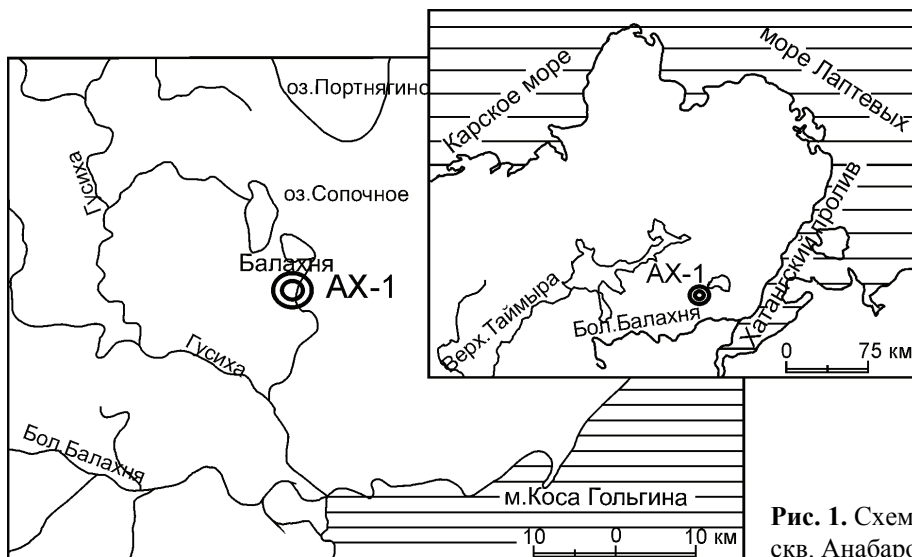


Рис. 1. Схема расположения скв. Анабаро-Хатангская-1 (AX-1)

Выше, в интервале 210,1–33,0 м, с трансгрессивным перерывом залегают исследуемые нами отложения, первоначально датированные геологами Полярной ГРЭ ранним мелом. По результатам палеонтологических и палинологических исследований возникли расхождения в определении возраста отложений этой части разреза (рис. 2, см. вклейку). Сотрудниками СНИИГГиМС (И.В. Будников и др., 2015) верхняя часть разреза в интервале 210,1–108,8 м отнесена к верхней перми (верхнекожевниковская свита). В.Р. Трофимовым и др. (2015 г.) в ходе изучения вещественного состава этой части разреза отмечено наличие фауны предположительно мезозайского возраста: гастроподы и белемниты (инт. 129,7–149,8 м), двустворки и аммониты (инт. 149,8–161,9 м).

Описание разреза

(материалы В.Р. Трофимова и др., 2014 г.)

Интервал 210,1–183,8 (26,3 м). Аргиллиты алевритистые темно-серые до черных, тонкоплитчатые, оскольчатые, слюдистые. Слоистость линзовидная и полого-волнистая, прерывистая. Подчиненные прослои (до 0,1 м) алевролитов слюдистых, полимиктовых, серого цвета, на известковом цементе. Остатки углефицированного растительного детрита, редкие гастроподы. Интервал 208,2–205,7 м характеризуется увеличением примеси алевритового материала в основной массе аргиллита от 10 до 15–20 %. Присутствует тонкая вкрапленность пирита.

Интервал 183,8–161,9 (21,9 м). Мелкое косолинзовидно-прерывистое, реже горизонтальное неравномерное переслаивание аргиллитов и алевролитов (около 5–8 %) с последующим убыванием последних. Аргиллиты темно-серого до

черного цвета, от массивных до тонкоплитчатых. Алевролиты слюдистые, серого цвета, на карбонатном цементе с серийной слоистостью, которая подчеркнута прожилками аргиллитового материала. Прослои углистого материала, остатки мелких и довольно крупных (до 5 см длинной) фрагментов растений, единичные отпечатки двустворок и гастропод хорошей сохранности, ходы илоедов. Присутствует тонкая вкрапленность пирита.

Интервал 161,9–149,8 (12,1 м). Аргиллиты темно-серого, почти черного цвета с включениями угольной крошки размером до 3 мм переслаиваются с алевролитами слюдистыми, полимиктовыми, серого цвета. Обнаружены редкие обломки раковин двустворок и аммонитов плохой сохранности.

Интервал 149,8–129,7 (20,1 м). Чередование аргиллитов темно-серых, тонкоплитчатых с алевролитами от серого до темно-серого цвета, полимиктовыми. Присутствуют черные углефицированные остатки растений, ходы илоедов и остатки древесин коричневого цвета, обломки раковин двустворок, реже белемнитов и гастропод, тонкая вкрапленность пирита.

Интервал 129,7–112,6 (17,1 м). Аргиллиты темно-серые до черных, переслаивающиеся с алевролитами светло-серыми до темно-серых. Алевролиты полимиктовые (кварц, полевые шпаты, обломки пород) с глинисто-карbonатным цементом. Присутствуют углефицированные остатки растений, тонкая вкрапленность пирита.

Интервал 112,6–75,8 (36,8 м). Ритмичное чередование песков мелко-среднезернистых, от светло-серых, зеленовато-серых и темно-серых до черных. Границы ритмов фиксируются тонкими прослойками гравелитов. Пески включают

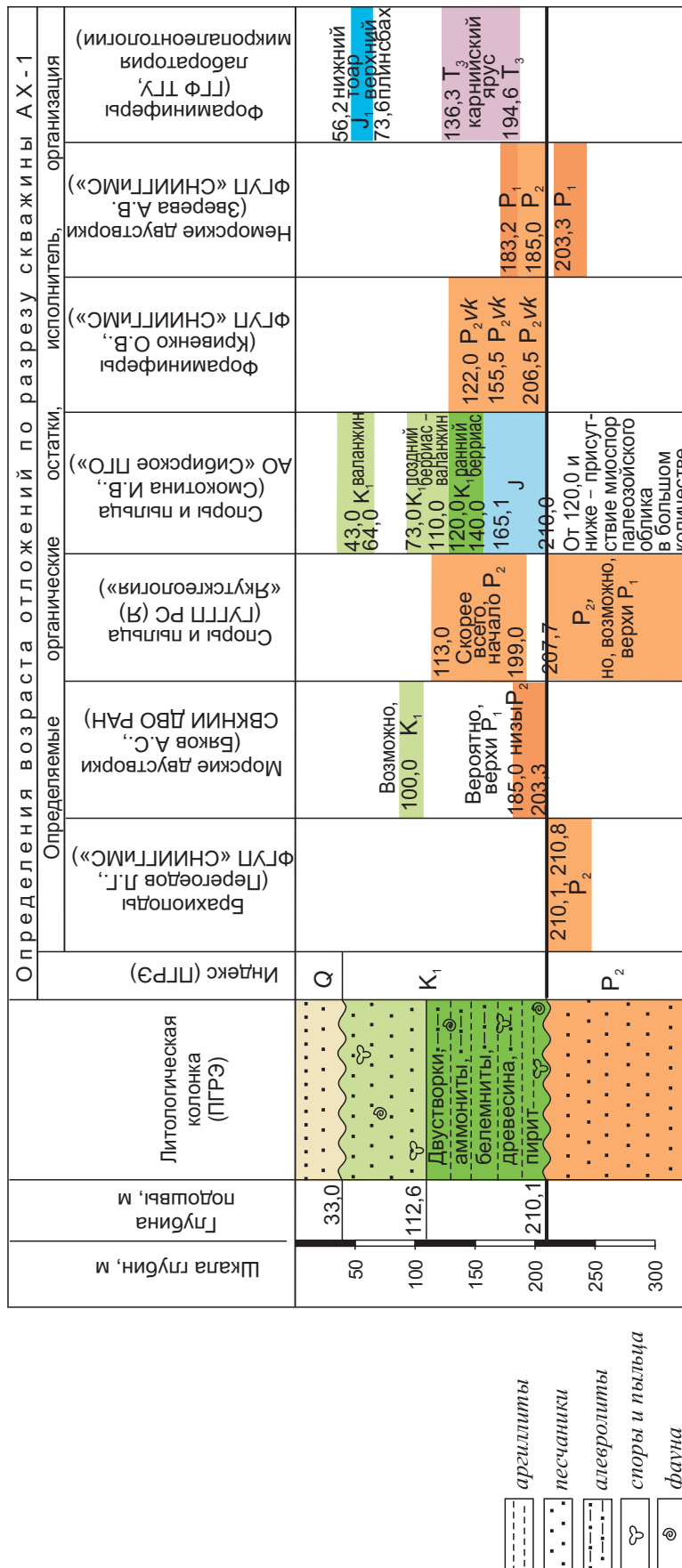


Рис. 2. Датировки отложений, вскрытых скв. Анабаро-Хатангская-1, предлагаемые различными исследователями

маломощные прослои аргиллитов и алевролитов. По всему интервалу включения углефицированных остатков растений, а также раковин двустворок и гастропод (?). В основании интервала – прослой конгломерата серого, зеленовато-серого цвета мощностью 0,5 м.

Интервал 75,8–62,9 (12,9 м). Песок мелко-среднезернистый, серого цвета, плотный, хорошо сцементированный, с редкими прослойками глин темно-серых и песчаников темно-серых, среднезернистых.

Интервал 62,9–47,5 (15,4 м). Песок мелкозернистый, редко тонкозернистый, от серого до темно-серого цвета, с включениями крупного гравия и мелкой гальки (10%), а также с прослойками до 35 см глин темно-серых до черных.

Интервал 47,5–39,6 (7,9 м). Алеврит глинистый, от серого до светло-серого цвета, с примесью песка тонкозернистого, слабо литифицированный, с редкими включениями гравия, гальки и единичными валунами.

Интервал 39,6–33,0 (6,6 м). Пески тонкозернистые до алевритистых, серого, темно-серого цвета, слабо литифицированные, с прослойками глин и редкими прослойками мелкозернистых песков светло-серого цвета.

Интервал 33,0–1,0 (32 м). Четвертичные отложения.

В результате палинологического изучения автором установлены (рис. 3):

- палинокомплекс юры из проб в интервале 210,1–165,1 м (ПК-I); причем в нижней части данного интервала разреза выявлен богатый смешанный спорово-пыльцевой комплекс, сочетающий в таксономическом составе элементы как палеозойской (пермской) так и мезозойской палиnofлоры;
- палинокомплекс раннего мела (берриас?) из проб в интервале 140,0–120,0 м (ПК-II);
- палинокомплекс раннего мела (берриас – валанжин) из проб в интервале 110,0–64,0 м (ПК-III);
- палинокомплекс валанжина из проб в интервале 64,0–43,0 м (ПК-IV).

Анализ полученных данных

Палинокомплекс юры, полученный из проб в интервале 165,1–210,1 м, характеризуется преобладанием спор папоротников и мхов (до 74,8 %) над пыльцой голосеменных растений. Среди спор доминируют *Leiotriletes* (до 17,0%), *Leiotriletes* (тип *Hausmannia*), *Acanthotriletes* sp., *Tripartina variabilis* Mal., *Sphagnum* sp., *Osmundacidites* sp., *Selaginella* sp. Характерно присутствие теплолюбивых видов *Marattisporites*

scabratus Coup., *Duplexisporites* sp., *Lophotriletes torosus* Sach. et Il., *Gleicheniidites senonicus* Ross., *Densoisporites microrugulatus* Brenner, *D. velatus* Weyl. et Krieg., *Lygodiumsporites subsimplex* Bolch., *Klukisporites pseudoreticulatus* Coup. Немного *Pilasporites marcidus* Balme, *Lycopodiumsporites* spp., *Cyathidites* spp., *Dictyophyllidites* sp., *Obtusisporites junctus* (K.-M.) Pocock., *Concavissimisporites verrucosus* (Delc. et Sprum.) Poc., *Verrucosisporites* sp., *Salviniaceae*, *Neoraistrickia longibaculata* Scheiko. Единичны *Foraminisporites* sp., *Leptolepidites major* Coup., имеющие развитие в мелу.

В пыльцевой части комплекса преобладают *Ginkgocycadophytus* (до 29,7%), *Disaccites* (до 13,8%). Постоянна ксерофильная пыльца *Classopollis* sp. (до 6,9%). Сопутствуют *Quadraeculina anellaformis* Mal., *Vitreisporites pallidus* (Reis.) Nils., *Araucariacites pexus* Sach. ex Kosenk., *Podocarpidites* spp., *Pseudopicea* sp., *Piceapollenites* sp., *Pinuspollenites* sp., *Sciadopityspollenites multiverrucosus* Sach. et Il., *Alisporites* sp., *Piceites* sp., *Callialasporites* sp. Микрофитопланктон представлен единичными пресноводными формами *Ovoidites* sp.

В целом, учитывая преобладание спор папоротников и мхов над пыльцой голосеменных, заметное присутствие теплолюбивых спор *Marattisporites scabratus*, *Duplexisporites* sp., *Lophotriletes torosus*, *Gleicheniidites senonicus*, *Densoisporites microrugulatus*, *D. velatus*, *Lygodiumsporites subsimplex* Bolch., *Klukisporites pseudoreticulatus*, *Leptolepidites major*, пыльцы *Classopollis* sp., *Vitreisporites pallidus*, *Callialasporites* sp., появление единичных зерен *Foraminisporites* sp. и положение в разрезе, описанный комплекс датирован как юрский.

С гл. 195,0 м (см. рис. 3) отмечается большое количество переотложенных миоспор палеозойского (пермского) облика: *Nigrisporites nigritellus* (Luber) Oschurkova, N. sp., *Turrisporites* sp., *Granulatisporites* sp., *Lycospora* spp., *Leiotriletes hetensis* K.-M., *Lycopodiumsporites* sp., *Trachytriletes impalpabilis* Krug., *Cyclotriletes* sp., *Osmundacidites* spp., *Apiculatisporites hispidus* (Andreeva) Siverceva, *Anaplanisporites* sp., *Spinosisporites* sp., *Ginkgocycadophytus*, *Podocarpidites* sp., *Striatopinites* sp., *Plicatipollenites* sp., *Luberisaccites* sp., *Cordaitina abutiloidea* (Luber) Dibner, *C. tuberculata* Krug., *Disaccites*. Причем формы *Leiotriletes hetensis* K.-M., *Cordaitina abutiloidea* (Luber) Dibner, по материалам В.В. Круговых, характерны для позднепермского времени [Круговых, 2000; Петерсон, 1999].

По мнению автора, такое количество и разнообразие миоспор палеозойского облика вполне

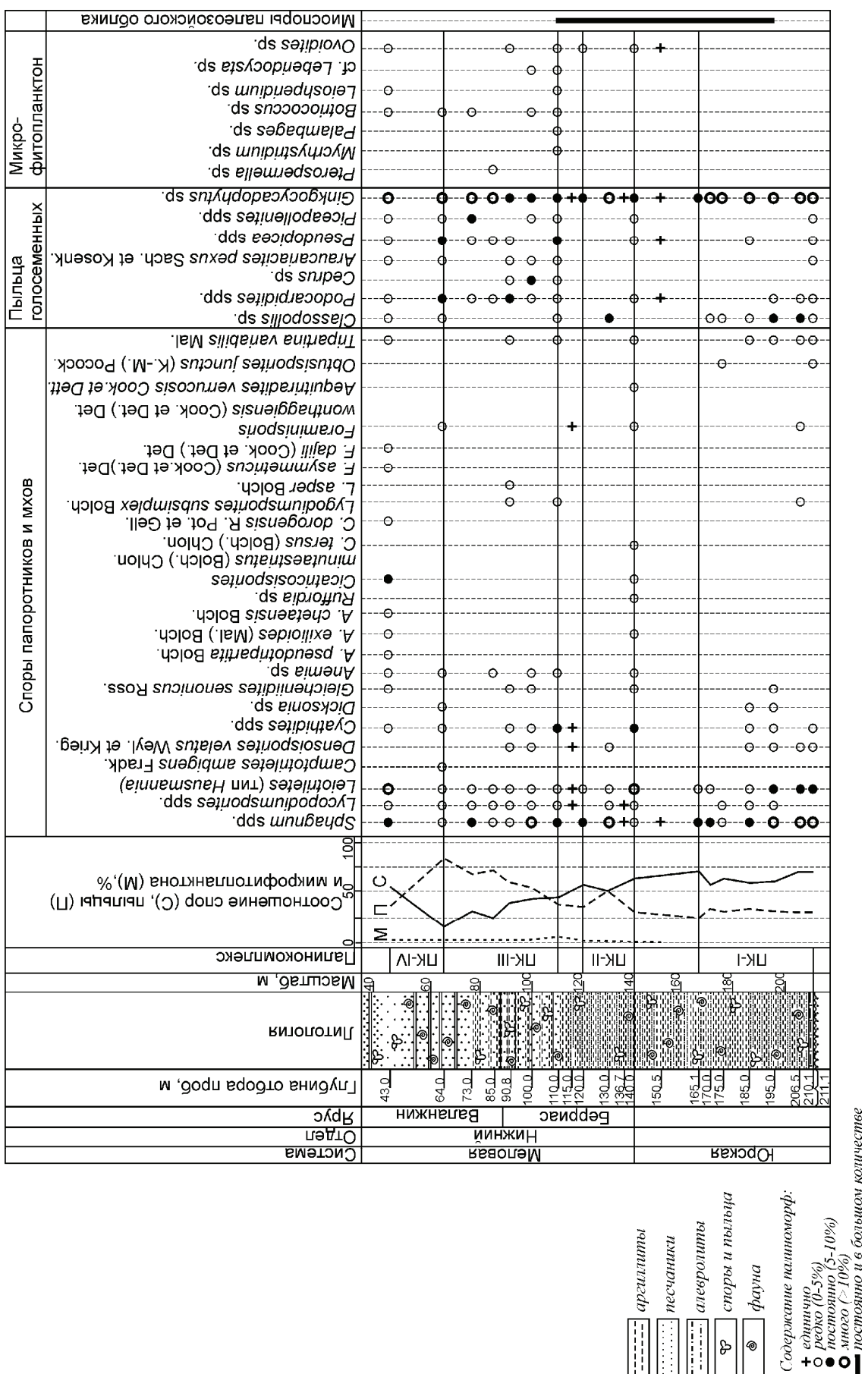


Рис. 3. Стратиграфическое распределение палиноморф, характерных для юры и мела, в разрезе скв. Анабаро-Хатангская-1

объяснимо, учитывая наличие нижележащего трангрессивного перерыва в разрезе.

Палинокомплекс берриаса, установленный из проб интервала 140,0–120,0 м, характеризуется преобладанием спор папоротников и мхов (50,0–66,2%) над пыльцой голосеменных растений. Ядро комплекса составляют споры *Leiotriletes* sp. (до 13,1%), *Leiotriletes* (тип *Hausmannia*) (до 18,1%), *Sphagnum* spp. (до 16,0%), *Osmundacidites* sp. (до 6,0%), пыльца *Ginkgocycadophytus* (до 16,0%), *Disaccites*. Характерно появление типичных меловых спор схизейных *Cicatricosisporites* spp., *Ruffordia* sp., печеночных мхов *Aequitriradites verrucosus* (Cook. et Dett.) Cook. et Dett. (см. таблицу). Единичны споры *Foraminisporites wonthaggiensis* (Cook. et Dett.) Dett., *Polypodisporites* sp., *Lycopodiumsporites* spp., *Cyathidites* spp. *Dictyophyllidites* sp., *Dipteridaceae*, *Auritullina* sp., *Hymenozonotriletes bicycla* (Mal.) Sach. ex Fradk., *Densoisporites velatus*, *Verrucosisporites* sp., *Gleicheniidites senonicus*, *Leptolepidites major*, *Tripartina variabilis*, *Acanthotriletes* sp., *Selaginella* sp., пыльца *Quadraeculina limbata* Mal., *Podocarpidites* spp., *Pseudopicea* sp., *Pinuspollenites* sp., *Sciadopityspollenites multiverrucosus*, *Protoconiferus funarius* (Naum.) Bolch. Встречены единичные зерна микрофитопланктона *Ovoidites* sp.

Учитывая вышеприведенные черты (особенно появление типичных меловых спор *Ruffordia* sp., *Cicatricosisporites* spp., *Aequitriradites verrucosus*, пыльцы древних хвойных *Protoconiferus funarius*, *Pseudopicea* sp.), а также непрерывность геологического разреза, описанный палинокомплекс отнесен к раннему мелу (берриас). Комплекс сооставим с палинокомплексом I берриаса низовьев р. Енисей [Решения..., 1981], а также с палинокомплексом I/7/ берриаса Региональной стратиграфической схемы Западной Сибири [Решения..., 2003].

Для палинокомплекса берриаса – валанжина, полученного из проб интервала 110,0–73,0 м, характерно преобладание пыльцы голосеменных растений (до 74,0%) над спорами папоротников и мхов, высокое содержание среди спор *Leiotriletes* sp. (до 9,9%), *Sphagnum* spp., *Osmundacidites* spp. (до 11,0%) на фоне постоянного присутствия *Lycopodiumsporites* spp., *Cyathidites* spp., *Marattisporites scabratus*, *Selaginella* sp., *Anemia* spp., *Cicatricosisporites* spp., доминирование в пыльцевой части *Ginkgocycadophytus* (до 39,0%), *Disaccites* (26,9%), в меньшей степени *Pseudopicea* sp. (до 5,2%), *Alisporites* sp., *Piceapollenites variabiliformis* (Bolch.) Petr. (4,3%), *Pinuspollenites* sp. (до 5,2%), присутствие единичных спор *Acanthotriletes* sp., *Dictyophyllidites* sp., *Dipteridaceae*, *Tripartina variabilis*, *Salviniaceae*,

photriletes sp., *Gleicheniidites* spp., *Lygodiumsporites* spp., *Pilasporites marcidus*, *Klukisporites variegatus* Coup., пыльцы *Cycadopites dilucidus* (Bolch.) Il., *Cedrus* sp., *Quadraeculina anellaeformis*, *Q. limbata*, *Araucariacites pexus*, *Podocarpidites* spp., *Pseudopicea* sp., *Pseudopicea magnifica* Bolch., *Piceapollenites* spp., *Pinuspollenites* sp., *Sciadopityspollenites multiverrucosus*, *Classopollis* sp.

Принимая во внимание преобладание пыльцы голосеменных растений (до 74,0%) над спорами папоротников и мхов, высокое содержание гладких спор *Leiotriletes* sp., постоянное присутствие спор схизейных *Cicatricosisporites* spp., *Klukisporites variegatus*, *Lygodiumsporites* spp., *Pilasporites marcidus* при небольшом количестве спор глейхениевых, данный палинокомплекс сооставим с раннемеловым комплексом позднего берриаса – валанжина низовьев р. Енисей [Решения..., 1981], а также с комплексом I/7-II/7/ берриаса – валанжина Региональной стратиграфической схемы Западной Сибири [Решения..., 2003].

Для палинокомплекса валанжина, установленного из проб интервала 64,0–43,0 м, характерно преобладание спор папоротников и мхов (до 61,5%) над пыльцой голосеменных растений, доминирование в споровой части *Leiotriletes* sp. (до 11,0%), *Leiotriletes* (тип *Hausmannia*) (до 14,1%), среди пыльцы – *Ginkgocycadophytus* (до 15,5%), *Cycadopites dilucidus*, *Pseudopicea* spp. (до 6,0%), *Disaccites* (до 15,5%), постоянное присутствие и видовое разнообразие группы меловых спор теплолюбивых схизейных папоротников *Cicatricosisporites* spp. (до 5,3%), *Anemia* spp., а также *Gleicheniidites senonicus*, *Foraminisporites* spp. (в том числе появление *Foraminisporites asymmetricus* (Cook. et Det.) Det.). Небольшой процент (до 5,0%) составляют споры *Pilasporites marcidus*, *Sphagnum* spp., *Lycopodiumsporites* spp., *Acanthotriletes* sp., *Dictyophyllidites* sp., *Dipteridaceae*, *Deltoidospora* sp., *Salviniaceae*, *Concavissimisporites verrucosus*, *Tripartina variabilis*, *Hymenozonotriletes bicycla*, *Salviniaceae*, *Marattisporites scabratus*, *Osmundacidites* spp., *Camptotriletes ambigens* Fradk., *Leptolepidites major* Coup., пыльца *Protoconiferus funarius*, *Araucariacites pexus*, *Podocarpidites* spp., *Piceapollenites* spp., *Pinuspollenites* sp., *Classopollis* sp., *Sciadopityspollenites multiverrucosus*, микрофитопланктон *Botriococcus* sp., *Leiosphaeridium* sp., *Ovoidites* sp.

Стратиграфически важные черты, а именно – преобладание спор и папоротников и мхов над пыльцой голосеменных растений, доминирование спор *Leiotriletes* sp., *Leiotriletes* (тип *Hausmannia*), видовое разнообразие группы спор схи-

зейных (*Anemia* spp., *Cicatricosisporites* spp.), появление *Foraminisporites asymmetricus*, присутствие пыльцы древних хвойных *Protoconiferus funarius*, позволяют датировать данный палинокомплекс ранним мелом (валанжин). Комплекс сопоставим по основным чертам видового состава с комплексом KSP2-3 валанжина палиностратиграфической шкалы севера Сибири [Никитенко и др., 2013; Пещевицкая, 2009], с комплексом II валанжина низовьев р. Енисей [Решения..., 1981]. Описанный комплекс также сходен основными чертами с палинокомплексом II /6, 7/ валанжина Региональной стратиграфической схемы Западной Сибири [Решения..., 2003].

Заключение

Таким образом, расхождения в датировке возраста отложений скв. Анабаро-Хатангская-1 в интервале 210,1–33,0 м, возникающие в результате изучения разных групп ископаемых, показывают необходимость их дополнительного изучения.

Благодарности

Автор глубоко признательна В.Р. Трофимову (Полярная ГРЭ) за предоставленные геологические материалы, заслуженному палинологу Л.Н. Петерсон за консультации, а также Т.Н. Прокопец (Аналитический центр АО «Сибирское ПГО»).

Литература

Круговых В.В. Атлас спор и пыльцы пермо-триасовых вулканогенных образований Тунгусской синеклизы. – Красноярск: ФГУГП «Красноярскгеолсъемка», 2001. – 233 с.

Никитенко Б.Л., Шурыгин Б.Н., Князев В.Г., Медведина С.В., Дзюба О.С., Лебедева Н.К., Пещевицкая Е.Б., Глинских Л.А., Горячева А.А., Хафаева С.Н. Стратиграфия юры и мела Анабарского района (Арктическая Сибирь, побережье моря Лаптевых) и бореальный зональный стандарт // Геология и геофизика. – 2013. – Т. 54. – № 8. – С. 1047–1082.

Петерсон Л.Н. Атлас спор и пыльцы карбона Тычанского алмазоносного района. – Красноярск: ФГУГП «Красноярскгеолсъемка», 1999. – 80 с.

Пещевицкая Е.Б. Диноцисты и палиностратиграфия нижнего мела севера Сибири. – Новосибирск: ИНГГ СО РАН, Академическое изд-во «Гео», 2010. – 230 с.

Решения III Межведомственного регионального стратиграфического совещания по мезозою и кайнозою Средней Сибири. – Новосибирск, 1981. – 91 с.

Решения 6-го Межведомственного стратиграфического совещания по рассмотрению и принятию уточненных стратиграфических схем мезозойских отложений Западной Сибири. – Новосибирск, 2003. – 114 с.

Объяснения к фототаблице

Длина масштабной линейки 20 мкм

Фиг. 1. *Stereisporites psilatus* (Ross) Coup., гл. 43,0 м.

Фиг. 2. *Stereisporites compactus* (Bolch.) Il., гл. 64,0 м.

Фиг. 3. *Lycopodiumsporites marginatus* Singh., гл. 43,0 м.

Фиг. 4. *Lycopodiumsporites subrotundus* (K.-M.) Vinograd., гл. 43,0 м.

Фиг. 5. *Polypodisporites* sp., гл. 43,0 м.

Фиг. 6, 7. *Leiotriletes* (тип *Haussmannia*): 6 – гл. 140,0 м; 7 – гл. 43,0 м.

Фиг. 8. *Osmundacidites* sp., гл. 64,0 м.

Фиг. 9, 10. *Pteridaceae*: 9 – гл. 43,0 м; 10 – гл. 140,0 м.

Фиг. 11. *Cyathidites* sp., гл. 140,0 м.

Фиг. 12. *Klukisporites pseudoreticulatus* Coup., гл. 140,0 м.

Фиг. 13, 14. *Cicatricosisporites dorogensis* R. Pot. et Gell.: 13 – гл. 43,0 м; 14 – гл. 140,0 м.

Фиг. 15, 16. *Anemia exilioides* (Mal.) Bolch.: 15 – гл. 140,0 м; 16 – гл. 43,0 м.

Фиг. 17. *Anemia dorsostriata* Bolch., гл. 43,0 м.

Фиг. 18, 19. *Anemia* sp., гл. 140,0 м;

Фиг. 20. *Aequitriradites verrucosus* (Cook. et Dett.) Cook. et Dett., гл. 140,0 м.

Фиг. 21. *Obtusisporis junctus* (K.-M.) Pocock., гл. 210,0 м.

Фиг. 22. *Tripartina* cf. *variabilis* Mal., гл. 185,0 м.

Фиг. 23–25. *Ginkgocycadophytus*: 23 – гл. 43,0 м; 24, 25 – гл. 185,0 м.

Фиг. 26, 27. *Cycadopites dilucidus* (Bolch.) Il.: 26 – гл. 64,0 м; 27 – гл. 140,0 м.

Фиг. 28–30. *Classopollis* sp.: 28 – гл. 64,0 м; 29 – гл. 140,0 м; 30 – гл. 206,0 м.

Фиг. 31. *Podocarpidites multesimus* (Bolch.) Pocock., гл. 64,0 м.

Фиг. 32. *Podocarpidites unicus* (Bolch.) Chlon., гл. 64,0 м.

Фиг. 33. *Piceapollenites variabiliformis* Mal., гл. 140,0 м.

Фиг. 34. *Pseudopicea magnifica* Bolch., гл. 64 м.

Фиг. 35. *Disaccites*, гл. 150,5 м.

Фиг. 36. *Ovoidites* sp., гл. 185,0 м.

To the question on the age of Mesozoic deposits in the section of the Anabar-Khatangskaya-1 well (Taimyrian Peninsula) according to palynological data

I.V. Smokotina

JSC «Siberian PGO», 660020 Krasnoyarsk, Berezina st. 3«D»

The results of palynological studies of the section of Mesozoic deposits discovered by the Anabar-Khatangskaya-1 core well (the left bank of the Khatanga Bay) are presented. The analysis of the taxonomic composition of the isolated spore-pollen complexes showed similarity with the Jurassic – Early Cretaceous zonal complexes of the palynostratigraphic scale of the north of Siberia. The established palynocomplexes confirm the initial conclusions about the supposedly Mesozoic age of the sediments of the upper part of the borehole section.

